

## TPLV304 - Distribution de la température dans une barre de section carrée

---

### Résumé :

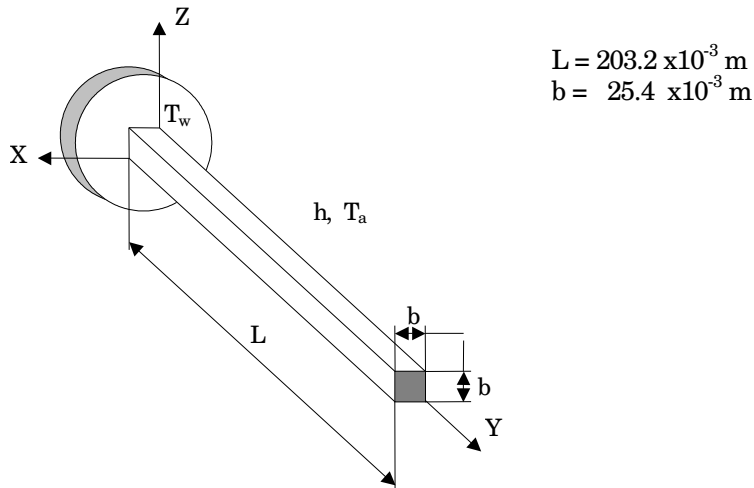
Ce test est issu de la validation indépendante de la version 3 en thermique stationnaire linéaire.

Il a pour objectif de valider les éléments thermiques volumiques sous des conditions de convection et de température imposée.

La solution de référence est basée sur une approche analytique.

## 1 Problème de référence

### 1.1 Géométrie



### 1.2 Propriétés du matériau

$\lambda = 43.2675 \text{ W/m} \cdot ^\circ\text{C}$  Conductivité thermique

### 1.3 Conditions aux limites et chargements

- température imposée sur la face  $y=0$   $T_w = 37.78^\circ\text{C}$ ,
- $\varphi=0$  sur la face  $y=L$ ,
- convection sur les autres faces :
  - $h = 5.678 \text{ W/m}^2 \cdot ^\circ\text{C}$ ,
  - $T_a = -17.780^\circ\text{C}$ .

### 1.4 Conditions initiales

Sans objet.

## 2 Solution de référence

---

### 2.1 Méthode de calcul utilisée pour la solution de référence

La solution de référence originale donnée dans le livre [bib1] est basée sur une approche analytique. Cette référence est citée dans le manuel de vérification d'ANSYS [bib2]

### 2.2 Résultats de référence

Température sur la face  $y=l$

### 2.3 Incertitude sur la solution

Inconnue, il n'a pas été possible de se procurer la référence originale (livre ancien, plus édité).

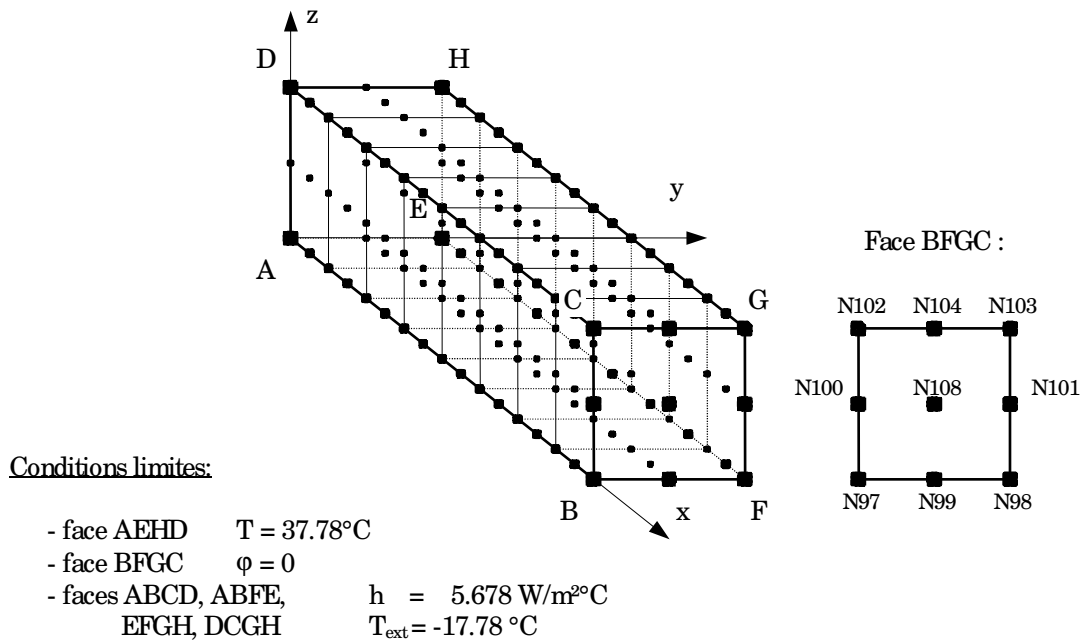
### 2.4 Références bibliographiques

- [1] ANSYS : "Verification manual", 1<sup>st</sup> edition, June 1, 1976
- [2] Kreith, F., " Principles of heat transfer", International Textbook Co., Scranton, Pennsylvania, 2nd Printing, 1959.

## 3 Modélisation A

### 3.1 Caractéristiques de la modélisation

3D (HEXA27)



### 3.2 Caractéristiques du maillage

Nombre de nœuds : 153  
Nombre de mailles et types : 8 HEXA27 (et 32 QUAD9)

### 3.3 Grandeurs testées et résultats

Identification	Référence	Aster	Ecart relatif (%)		Ecart absolu ( $^{\circ}\text{C}$ )		
			différence	tolérance	différence	tolérance	
Température ( $^{\circ}\text{C}$ )							
à l'extrémité de la barre							
$Y = L$	20.329						
B	N97	20.329	20.295	0.166	1%	0.0338	0.5
milieu BF	N99	20.329	20.327	0.010	1%	0.0021	0.5
F	N98	20.329	20.295	0.166	1%	0.0338	0.5
milieu FG	N101	20.329	20.327	0.010	1%	0.0021	0.5
G	N103	20.329	20.295	0.166	1%	0.0338	0.5
milieu GC	N104	20.329	20.327	0.010	1%	0.0021	0.5
C	N102	20.329	20.295	0.166	1%	0.0338	0.5
milieu CB	N100	20.329	20.327	0.010	1%	0.0021	0.5
milieu de la face	N108	20.329	20.359	0.146	1%	0.0297	0.5

### 3.4 Remarques

La chaleur volumique  $\rho C_p$  n'intervient pas dans ce test, mais doit être déclarée pour Code\_Aster.  
On prend  $\rho C_p = 1.0 \text{ J/m}^3 \text{ }^\circ\text{C}$ .

La condition limite  $\varphi = 0$ . est implicite sur les bords libres.

Les petites différences qui subsistent correspondent à un gradient de température dans la section observée. Ce qui est conforme au phénomène physique modélisé.

## 4 Synthèse des résultats

---

Les résultats obtenus sont très satisfaisants, l'écart maximum est de  $-0.166\%$ . L'intérêt principal de ce test est de vérifier la maille HEXA27.